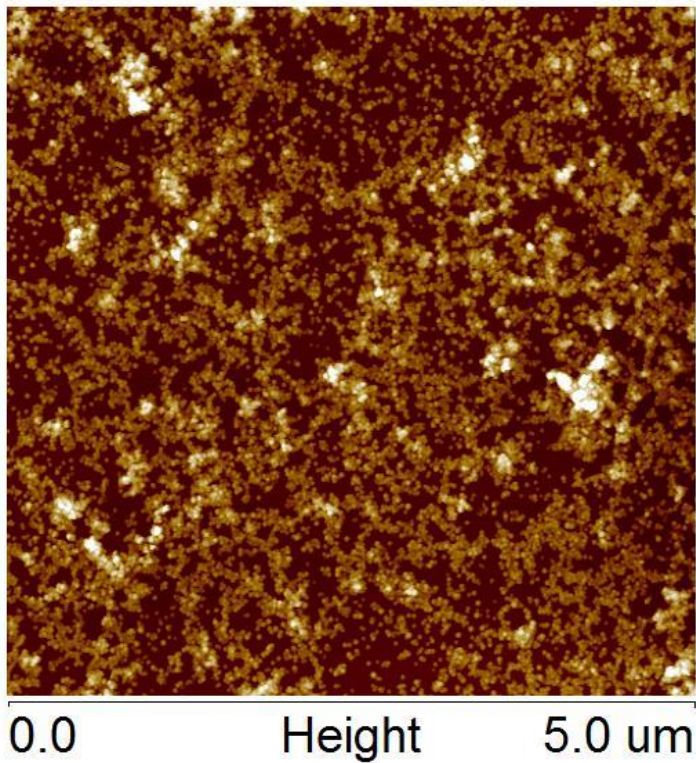


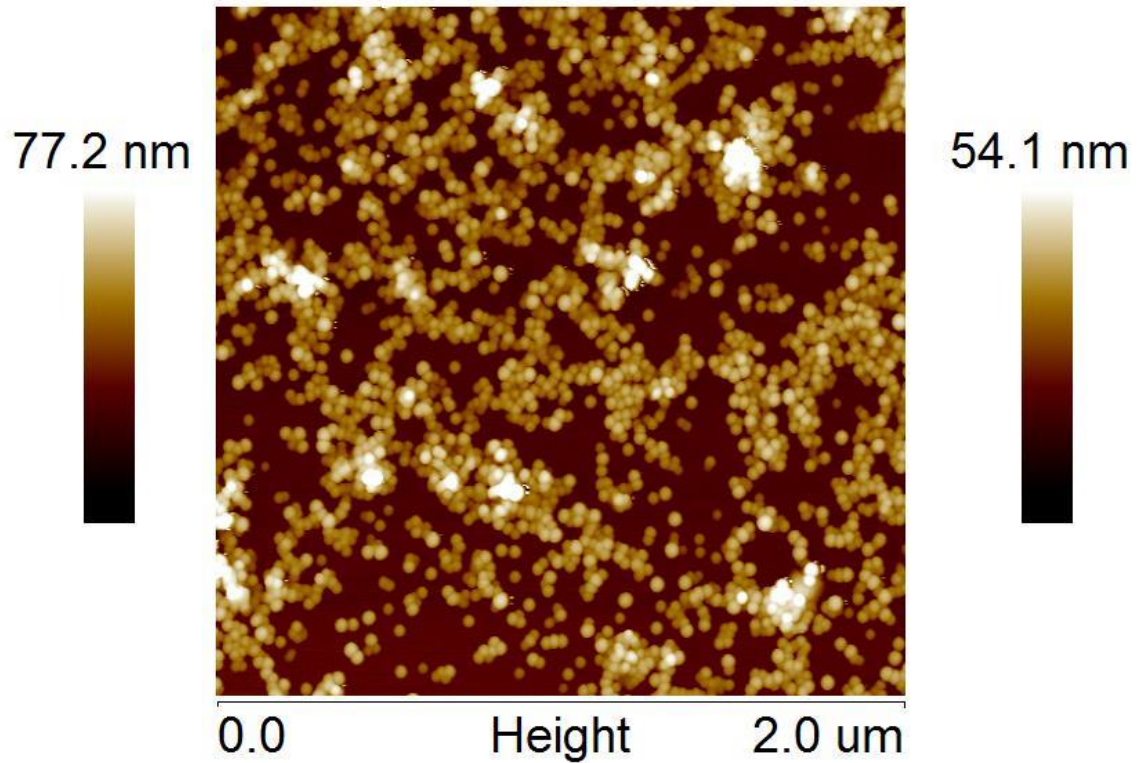
Obrazy z mikroskopu sił atomowych (AFM)
nanocząstek polistyrenu (PS).

27 kwietnia 2022 r.

PS 29 nm

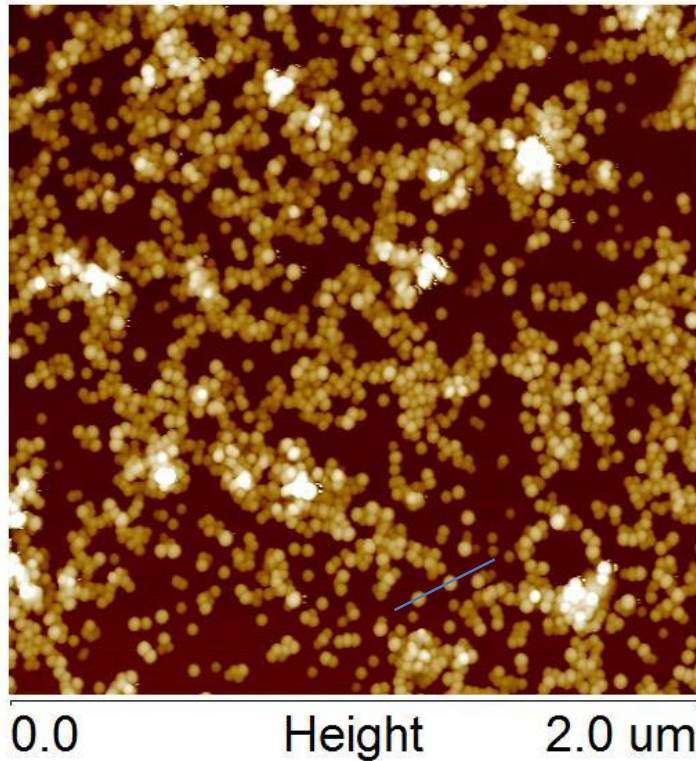


PS 29 nm,
image size ($5\text{ }\mu\text{m} \times 5\text{ }\mu\text{m}$)



PS 29 nm,
image size ($2\text{ }\mu\text{m} \times 2\text{ }\mu\text{m}$)

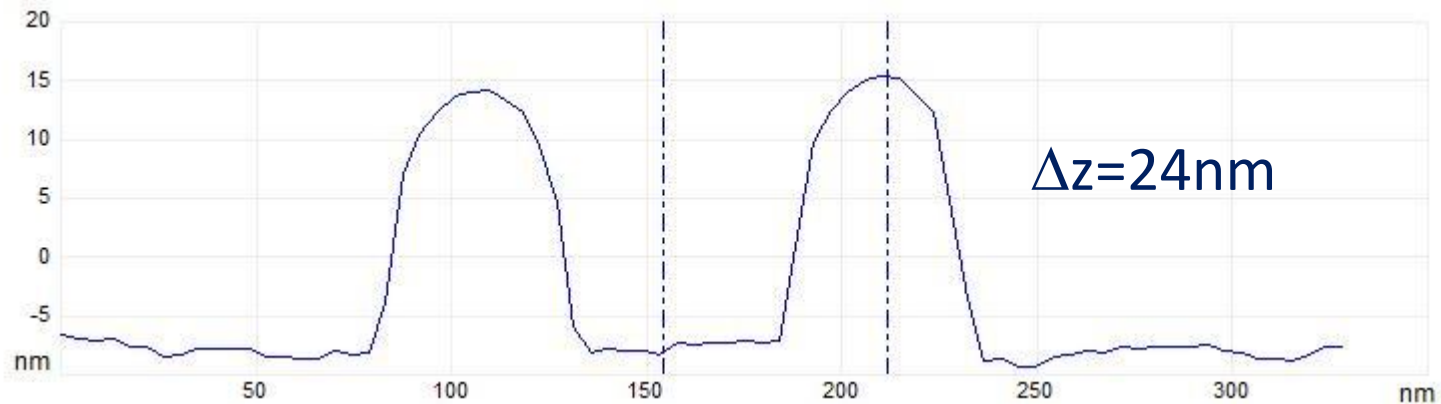
PS 29 nm – przekrój



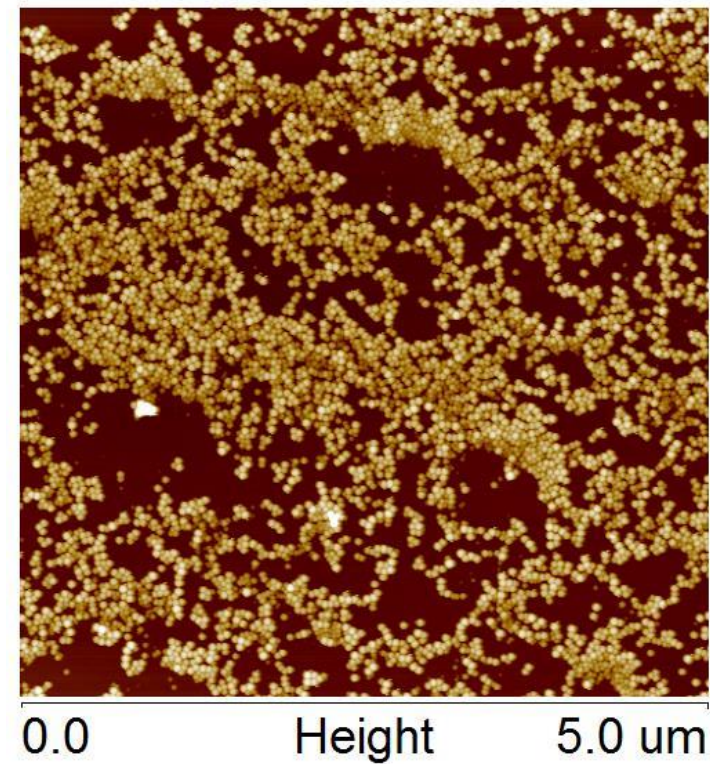
54.1 nm



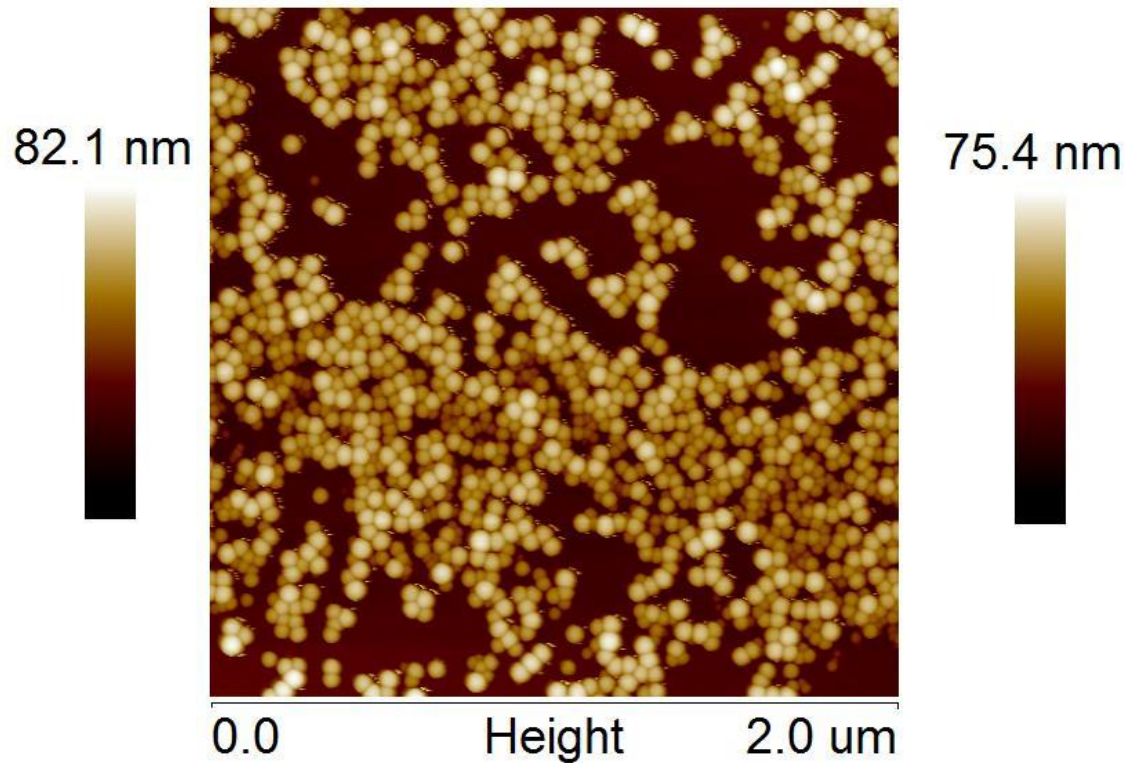
PS 29 nm,
image size ($2\ \mu\text{m} \times 2\ \mu\text{m}$)



PS 44 nm

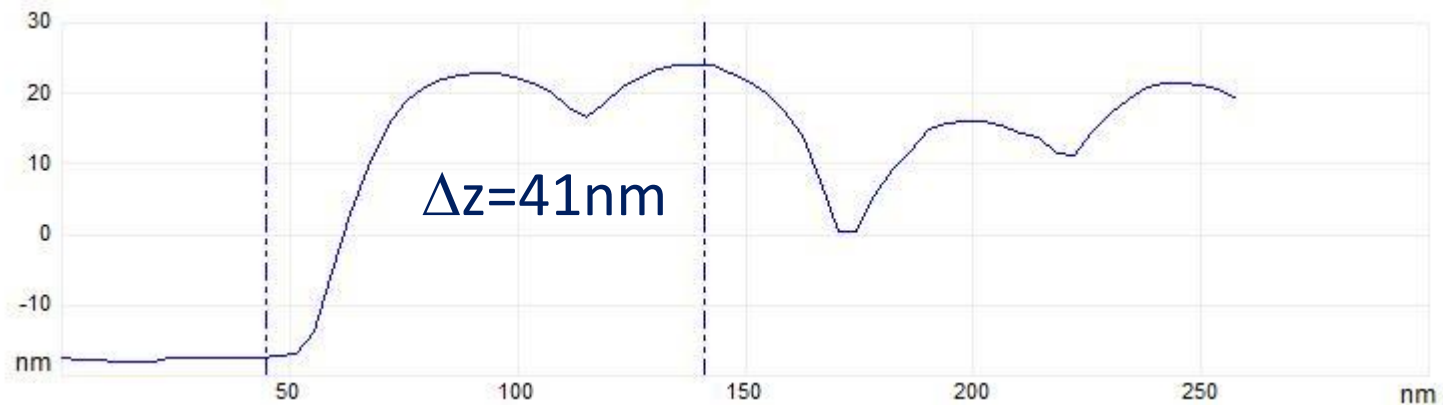
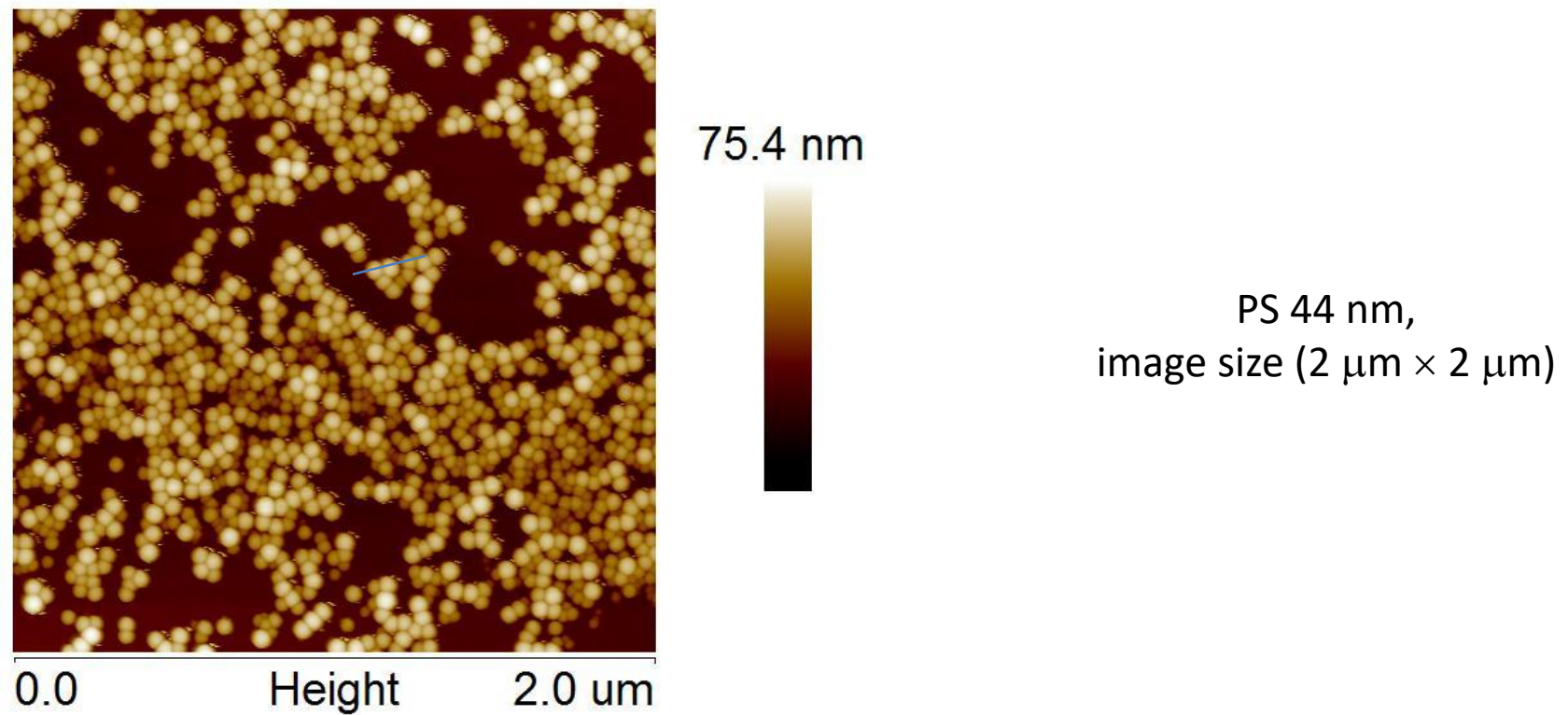


PS 44 nm,
image size ($5\text{ }\mu\text{m} \times 5\text{ }\mu\text{m}$)

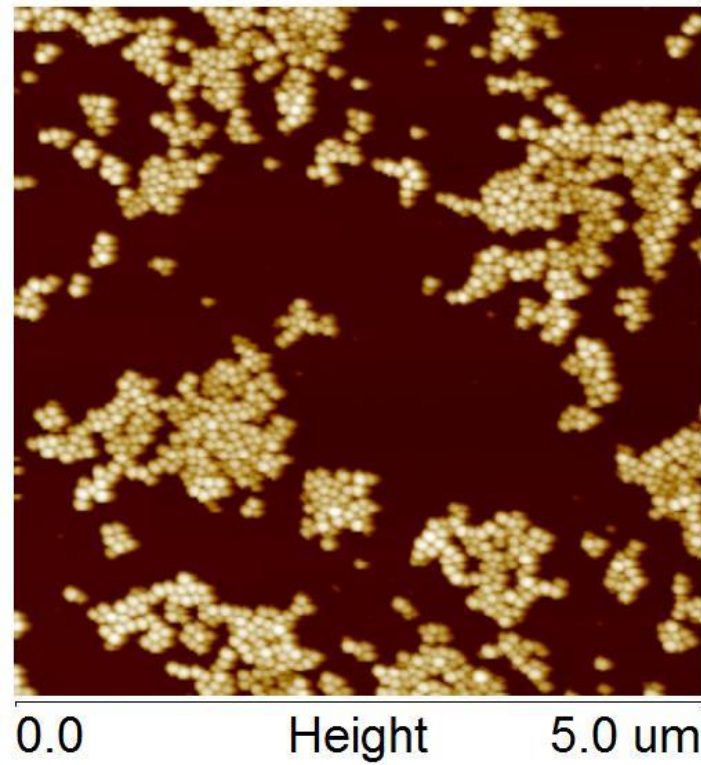


PS 44 nm,
image size ($2\text{ }\mu\text{m} \times 2\text{ }\mu\text{m}$)

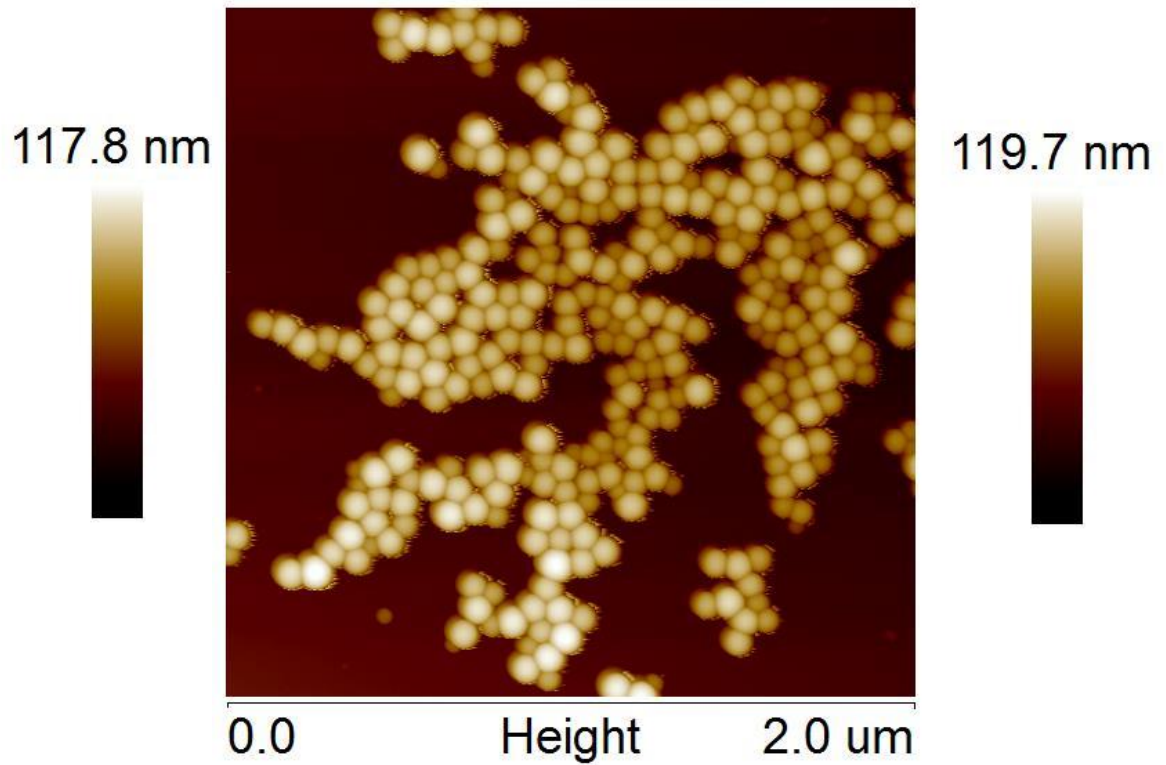
PS 44 nm - przekrój



PS 72 nm

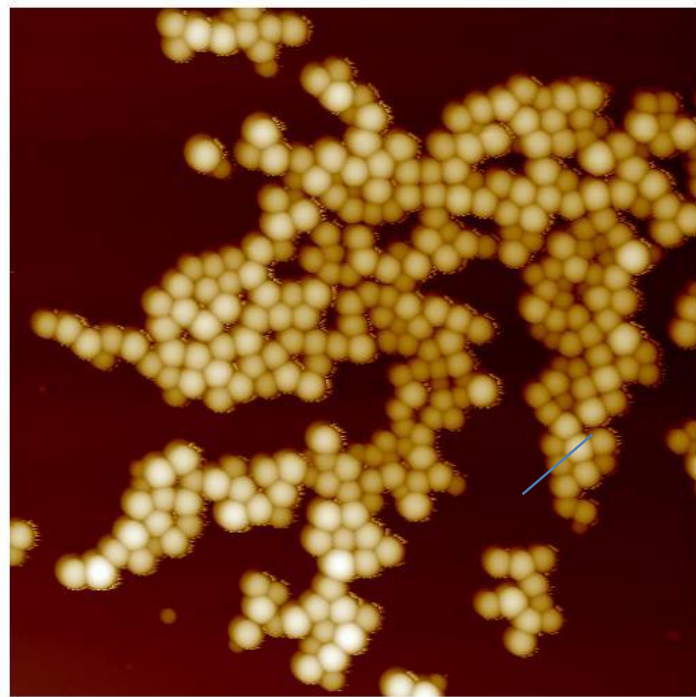


PS 72 nm,
image size ($5\ \mu\text{m} \times 5\ \mu\text{m}$)



PS 72 nm,
image size ($2\ \mu\text{m} \times 2\ \mu\text{m}$)

PS 72 nm - przekrój



119.7 nm



PS 72 nm,
image size ($2\text{ }\mu\text{m} \times 2\text{ }\mu\text{m}$)

0.0 Height 2.0 μm

